

압력용기용 Mn-Ni-Cr-Mo강의 스테인레스강 Clad부 Disbonding 현상에 관한 연구
Study on the Disbonding in Stainless Steel Claded Mn-Ni-Cr-Mo Steel
for Reactor Pressure Vessel

양 명일*, 김 정태*, 김 승원**, 박 화순***

* 한국중공업(주) 기술연구원, 경남 창원

** 한국중공업(주) 제관생산기술부, 경남 창원

*** 부경대학교 재료공학과, 부산

1. 서 론

고온수 분위기에서 사용되는 bolt 체결형 압력용기의 내식성 증대를 위한 스테인레스강 cladding의 경우 대부분 strip 전극봉을 SAW 방법으로 수행하고 있다. 그러나 closure head부의 key홀 등 일부 구간에는 그 구조상 자동 strip cladding이 적용되지 못하고, SMAW에 의해서만 cladding이 가능하다. 이러한 SMAW에 의해 육성용접된 key홀의 clad부에서 disbonding이 자주 발생되고, 특히 이들을 보수용접 한 후 PWHT 경우에 disbonding이 재발되는 사례가 빈번히 나타나고 있다. 이러한 disbonding은 이종 재료의 물리적 성질, 용접조건 및 후열처리 조건 등과 구조물의 형상과 밀접한 관련이 있다고 보고되고 있다^{1,2)}. 본 연구에서는 SMAW에 의한 clad부의 건전성을 확보하기 위하여 모재와 clad부의 접합강도에 미치는 인자들을 조사하여 그 제반 조건에 따른 결과를 분석하여 disbonding 저항성을 높이는 방안을 조사하였다.

2. 사용재료 및 시험 방법

본 압력용기의 head는 Mn-Ni-Cr-Mo 조성의 저합금강이며, 스테인레스 clad 용가재는 초충에 피복아크용접봉인 E309-16(Φ4.0mm)을 사용하고, 2층 이후는 E308L-16(Φ4.0mm)을 사용한다. Table 1에는 이들의 화학성분을 나타내고 있다.

Table 1. Chemical compositions for base metal and filler metal (wt.%)

Materials	C	Si	Mn	P	S	Ni	Cr	Mo	V	Remarks
Mn-Ni-Cr-Mo	max. 0.25	0.15~0.40	1.2~1.5	max. 0.025	max. 0.025	0.40~1.0	max. 0.25	0.45~0.60	max. 0.05	Base Metal
E309-16*	0.035	0.6	1.1			13.0	23.5			1st Layer
E308L-16*	0.02	0.8	0.95			9.5	19.7			2nd layer

*Typical all-weld metal analysis(%)

본 제품 head의 cladding 시공조건과 PWHT 조건은 Table 2에 나타나 있으며, 용접 방법은 피복아크용접(SMAW)으로 실시되어진다.

Table 2. Welding procedure and PWHT conditions for clad weld metal

Process	Current(A)	Voltage(V)	Speed (mm/min)	Position	Polarity	Preheat(°C)	PWHT
SMAW	120~150	20~32	17~18	flat	DCRP	121	max. 40hrs at 615°C

clad 부의 강도에 미치는 용접 조건과 열처리 조건의 영향을 조사하기 위하여 상기 Table 2의 용접 및 열처리 조건 일부를 변화시켜 이에 따른 전단강도를 측정하였다. 전단강도의 측정은 ASTM A264³⁾에 규정된 clad강 계면의 전단 강도 측정용 시편을 가공하여 실시하였으며, 미세 조직관찰 및 경도 측정을 실시하였다. 또한 석출물의 생성을 확인하기 위하여 일부 시편은 SEM-EDAX 및 EPMA를 이용하여 접합 경계부의 주요 원소들에 대한 분포를 조사하였다.

3. 결과 및 고찰

3.1 Disbonding 현상

Fig. 1은 모재인 head로부터 박리된 스테인레스강 clad의 표면을 나타내고, Table 3은 1개의 head에 대한 key홀 보수 이력을 나타내고 있다. 표에서 볼 수 있는바와 같이 clad 또는 후열처리에 의해 disbonding 현상은 재발되는 것을 볼 수 있다.



Fig. 1 Appearance of the disbonded surface(STS)

Loca. Prs	0°	90°	180°	270°
Clad	수행	수행	수행	수행
UT	Accept	Accept	Accept	Accept
황삭	수행	수행	수행	수행
UT	Disbond	Accept	Accept	Accept
Repair	수행	-	-	-
PWHT	수행	수행	수행	수행
UT	Accept	Accept	Disbond	Disbond
Repair	-	-	수행	수행
황삭	수행	-	수행	수행

Table 3 The history of repair welding

Fig. 2에 나타낸 SEM-EDAX 사진으로부터 본드부 근방에는 PWHT에 의하여 모재로부터의 탄소의 이동이 일어나고 있음을 알 수 있다. 이러한 이동 탄소는 clad 층의 Cr과 반응하여 탄화물을 석출하고, 유지시간이 길어짐에 따라 그 정도가 증가하는 것을 알 수 있었다. 한편 HAZ 및 모재부에서는 탈탄구역이 형성되어 진다.

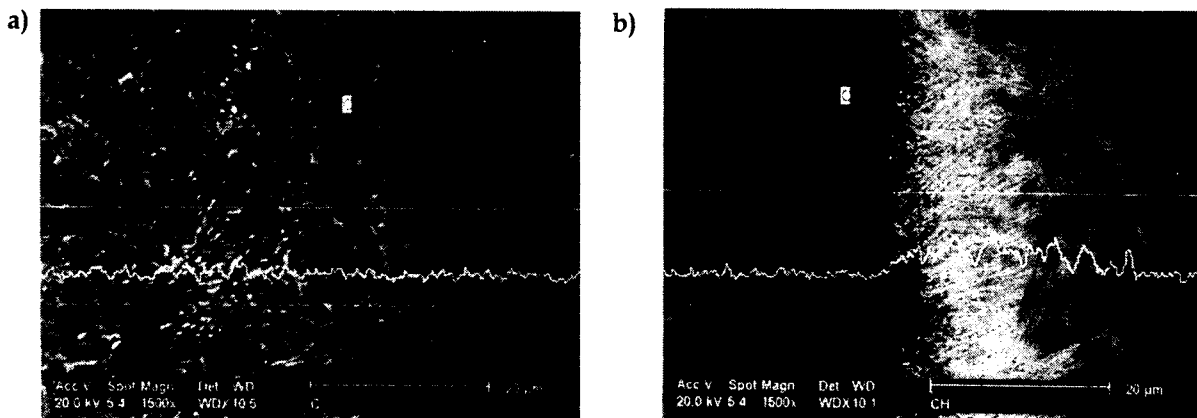


Fig. 2 Difference of carbon peak before a) and after b) PWHT at 615°C for 35hrs..

3.2. 시험 결과

Fig. 3에는 입열량에 따른 전단강도의 변화를 나타내고 있다. 용접입열량이 큰 경우에는 후열처리 후 전단 강도의 저하 폭이 커지고 있음을 볼 수 있다. Fig. 4는 후열처리 유지 시간에 따른 전단 강도의 변화를 나타내는 것으로 후열처리 시간이 길어짐에 따라 전단 강도는 현격하게 저하되고 있음을 볼 수 있다. 따라서 스테인레스강 clad부의 접합 전단 강도는 용접 조건 및 후열처리 조건에 따라 많은 영향을 받고 있음을 확인할 수 있었다.

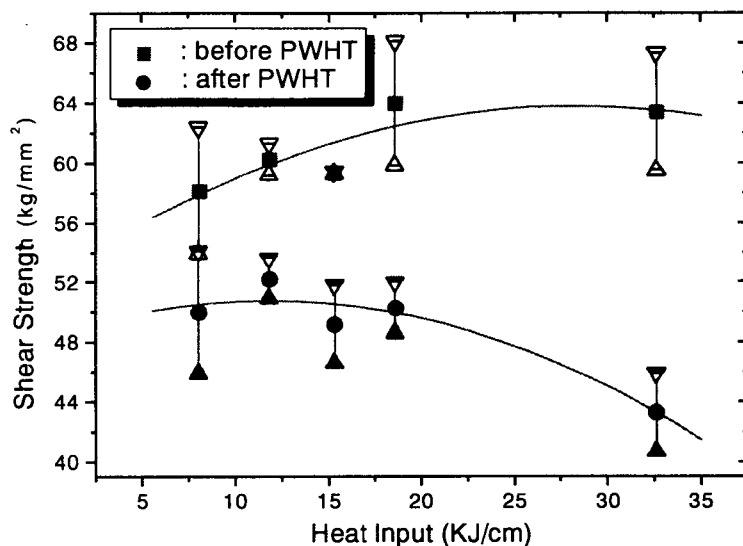


Fig. 3. The variation of interfacial strength with heat input.

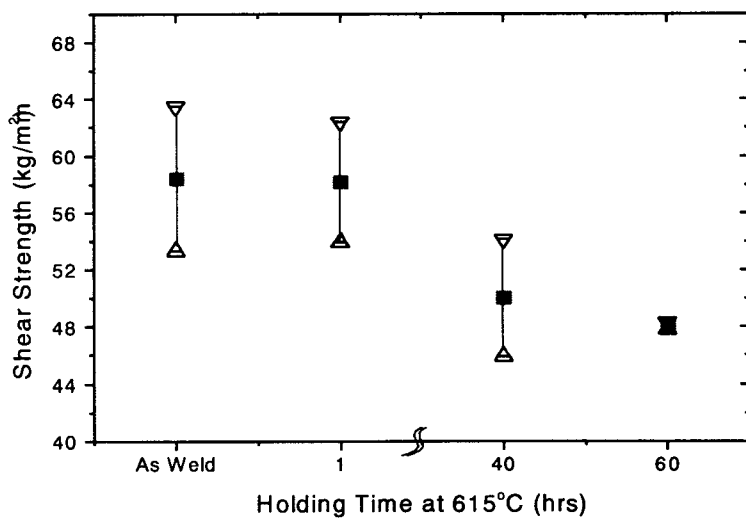


Fig. 4. The variation of interfacial strength with holding time at 615°C.

참고문헌

1. Michio Inagaki etc. : オーステナイト系ステンレス鋼肉盛溶接金屬の後熱処理に関する冶金學的考察, 溶接學會誌 40卷 6号(1971), pp 83~92
2. 윤중근, 김희진 : CLAD강의 DEBONDING 현상에 대한 연구(1), (2), 대한용접학회지, 5-3(1987), pp28-37
3. ASTM A264-94a, Stainless Chromium-Nickel Steel-clad Plate, Sheet, and Strip